



# БИООРГАНИЧЕСКАЯ ХИМИЯ

том 14 \* № 1 \* 1988

УДК 577.413.4

## ИССЛЕДОВАНИЕ ЭЛЕМЕНТОВ ПРОСТРАНСТВЕННОЙ СТРУКТУРЫ тРНК<sup>Leu</sup><sub>IAG</sub> МОЛОЧНОЙ ЖЕЛЕЗЫ КОРОВ МЕТОДАМИ ХИМИЧЕСКОЙ МОДИФИКАЦИИ

Петрушенко З. М., Тукало М. А., Мацукова Г. Х.

Институт молекулярной биологии и генетики Академии наук УССР, Киев

С помощью химических реагентов было исследовано участие азотистых оснований тРНК<sup>Leu</sup><sub>IAG</sub> из молочной железы коров в формировании ее пространственной структуры. Показано, что низкий уровень модификации специфическими реагентами имеют остатки гуанозина в положениях 10 ( $m^2C$ ), 13, 15, 23, 24, 29, 30, 47Н, 51, 52, 53, 57; цитидина в положениях 48 ( $m^5C$ ), 56 и все, которые находятся в двуспиральных участках; аденоцина в положениях 14, 22, 31, 42, 59, 64.

Большая часть основания тРНК<sup>Leu</sup><sub>IAG</sub>, участвующих в формировании ее пространственной структуры, соответствует по положениям нуклеотидам тРНК<sup>Phe</sup> из дрожжей, что свидетельствует о возможной общей роли данных оснований в формировании пространственной структуры этих двух молекул.

В настоящее время методами рентгеноструктурного анализа в деталях изучена пространственная структура тРНК<sup>Phe</sup> из дрожжей в кристалле [1, 2]. Имеются также данные о макромолекулярном строении тРНК<sup>Met</sup> из дрожжей и *E. coli* и тРНК<sup>Asp</sup> дрожжей [3–5]. Однако метод рентгеноструктурного анализа позволяет получить данные только о фиксированной конформации макромолекулы. В то же время многие принципиально важные аспекты функционирования тРНК в клетке связаны с ее конформационными превращениями. Поэтому большой интерес представляют исследования пространственной структуры тРНК в физиологических условиях, т. е. в растворе. Такие работы уже проводятся, хотя в подавляющем большинстве они связаны с изучением тРНК, имеющих короткую вариабельную петлю. Что касается наших знаний о пространственной структуре класса тРНК с длинной вариабельной петлей, то они крайне ограничены. Неизвестной остается и роль вариабельной петли в структурной организации и функционировании тРНК данного класса.

Для изучения пространственной структуры нуклеиновых кислот в растворе наиболее подходящими являются методы ЯМР и химической модификации. В 1980 г. Д. Питти и В. Гилберт разработали химические подходы, позволяющие изучать доступность азотистых оснований в молекулах тРНК для специфических химических реагентов [6]. Этот метод сейчас используется для изучения конформации различных видов РНК [7–9]. Механизм предложенных реакций хорошо изучен [10].

В данной работе мы использовали методы химической модификации для исследования пространственной структуры лейциновой тРНК<sub>IAG</sub> из молочной железы коров, которая относится к классу тРНК с длинной вариабельной петлей. Представленные данные с учетом информации о доступности фосфатов тРНК<sup>Leu</sup><sub>IAG</sub>, полученной нами ранее [11], позволяют получить достаточно полную картину пространственной структуры этой молекулы.

Реакционную способность остатков гуанозина и цитидина исследовали с помощью диметилсульфата, алкилирующего N7-положение гуанина и N3-положение цитозина. Остатки аденоцина исследовали с помощью карбетоксилирующего реагента — диэтилпирокарбоната. тРНК предварительно метили с помощью  $^{32}P$  по одному из концов. Реакции проводили в трех экспериментальных условиях: а) в условиях, сохраняющих нативную структуру молекулы тРНК (0,01 М MgCl<sub>2</sub>, 0,1 М NaCl, 37°C); б) в полу-

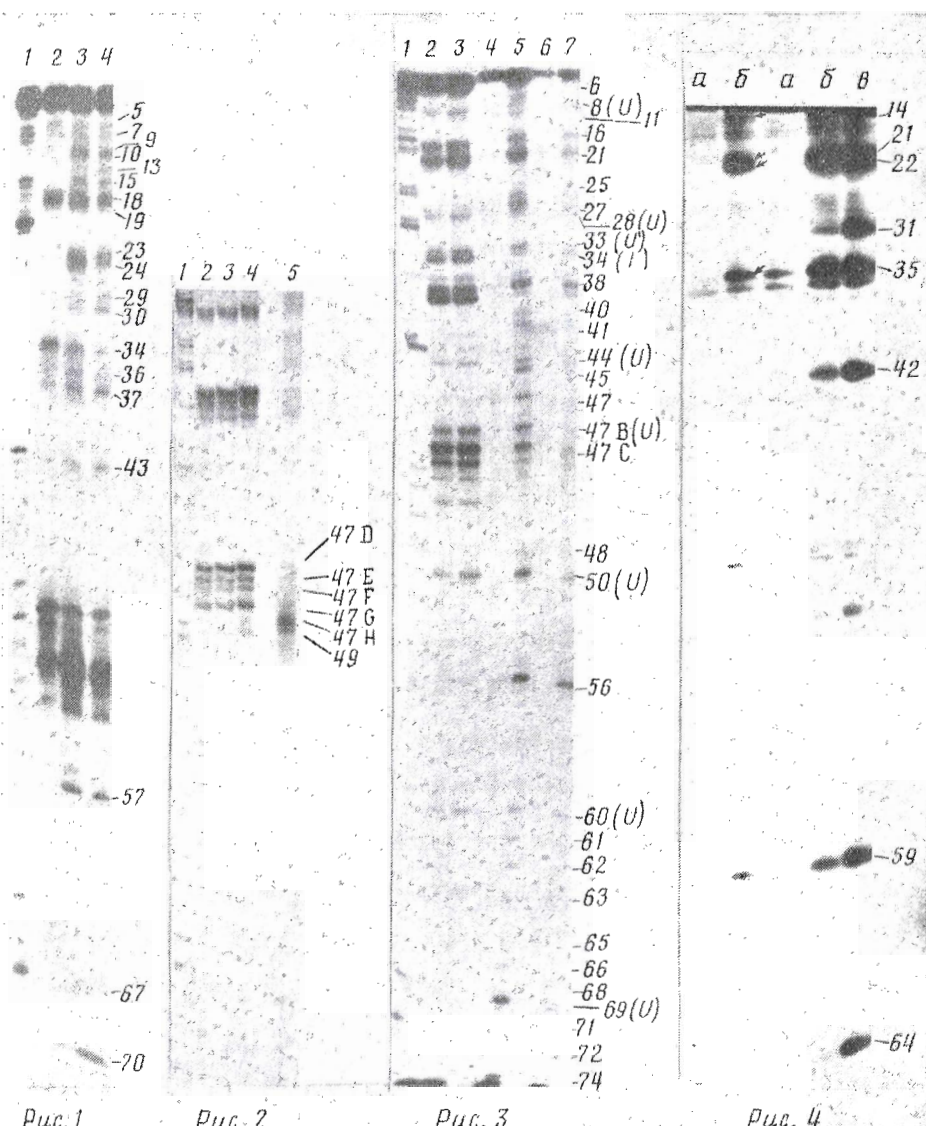


Рис. 1. Радиоавтограф 11% ПААГ, в котором были разделены (4000 В, 3,5 ч) фрагменты 3'-меченої тРНК<sup>Leu</sup><sub>TAG</sub>, полученные в результате алкилирования остатков гуанозина DMSO в нативных (2), полуденатурирующих (3) и денатурирующих (4) условиях. 1 – тРНК, частично гидролизованная рибонуклеазой Т<sub>1</sub>

Рис. 2. Радиоавтограф 12,5% ПААГ, в котором были разделены фрагменты 3'-меченої тРНК<sup>Leu</sup><sub>TAG</sub>, полученные в результате алкилирования остатков гуанозина DMSO в нативных (2-4) и денатурирующих (5) условиях. 1 – тРНК, частично гидролизованная рибонуклеазой Т<sub>1</sub>

Рис. 3. Результаты модификации остатков цитидина тРНК<sup>Leu</sup><sub>TAG</sub> DMSO в нативных (2, 3) и денатурирующих (5) условиях. 1 – тРНК<sup>Leu</sup><sub>TAG</sub>, гидролизованная рибонуклеазой Т<sub>1</sub>; 6 – контрольная инкубация в отсутствие реагентов; 7 – тРНК, модифицированная по остаткам уридинина. Условия электрофореза см. рис. 1

Рис. 4. Результаты модификации остатков аденоцина тРНК<sup>Leu</sup><sub>TAG</sub> диэтилпирокарбопатом в условиях, стабилизирующих пространственную структуру молекулы (α), в полуденатурирующих (β) и денатурирующих (γ) условиях. Условия электрофореза см. рис. 1

денатурирующих условиях, в которых разрушалась третичная структура тРНК, но сохранялась вторичная ( $1 \cdot 10^{-3}$  М EDTA, 37° С); в) в денатурирующих условиях ( $1 \cdot 10^{-3}$  М EDTA, 90° С).

**Результаты химической модификации тРНК диметилсульфатом  
и диэтилпирокарбонатом \***

Номер нуклео-зида	Нуклео-зида	Н	ПД	Д	Номер нуклео-зида	Нуклеозид	Н	ПД	Д
5	G	+	+	+	45	C	-	--	+
6	C	-	-	+	47	C	-	-	+
7	G	+	+	+	47C	C	+	+	+
9	G	+	+	+	47D	G	+	+	+
10	$m^2G$	-	-	+	47E	G	+	+	+
11	C	-	-	+	47F	G	+	+	+
13	G	-	±	+	47G	G	+	+	+
14	A	-	+	+	47H	G	-	±	+
15	G	-	+	+	48	$m^5C$	-	+	+
16	C	+	+	+	49		+	+	+
18	G	+	+	+	51	G	-	+	+
19	G	+	+	+	52	G	-	+	+
20A	C	-	+	+	53	G	-	+	+
21	A	±	+	+	56	C	-	+	+
22	A	-	+	+	57	G	-	+	+
23	G	-	+	+	59	A	-	+	+
24	G	-	+	+	61	C	-	-	+
25	C	-	-	+	62	C	-	-	+
26	$m_2^2G$	-	±	+	63	C	-	-	+
27	C	-	-	+	64	A	-	-	+
29	G	-	±	+	65	C	-	-	+
30	G	±	±	+	66	C	-	-	+
31	A	-	-	+	67	G	+	+	+
34	U	+	+	+	68	C	-	-	+
35	A	±	+	+	70	G	+	+	+
36	G	+	+	+	71	C	-	-	+
37	$m^1G$	+	+	+	72	C	-	-	+
38	C	+	+	+	73	A	+	+	+
40	C	-	-	+	74	C	+	+	+
41	C	-	-	+	75	C	+	+	+
42	A	-	-	+	76	A	+	+	+
43	G	±	+	+					

\* Н, ПД, Д — модификация тРНК в нативных, полуденатурирующих и денатурирующих условиях соответственно. Плюс и минус обозначают наличие или отсутствие модификации, а ± — низкий уровень модификации.

Модификация азотистых оснований ослабляет фосфодиэфирные связи данного нуклеотида, что позволяет в определенных условиях легко расщеплять полинуклеотидную цепь в местах модификации. Полученные в результате расщепления тРНК меченные олигонуклеотиды анализировали высоковольтным электрофорезом в полиакриламидном геле. Результаты эксперимента по модификации остатков гуанозина тРНК показаны на рис. 1. Для лучшей демонстрации реакционной способности остатков гуанозина в районе вариабельного стебля (в положениях 47D, 47F, 47G, 47E и 47H) представлен рис. 2. Из рис. 1 и 2 видно, что в денатурирующих условиях уровень модификации большинства остатков гуанозина сильно не отличается. В то же время в нативных условиях высокий уровень модификации наблюдается только для некоторых остатков гуанозина (положения 18, 19, 34I, 36, 47D, 47E, 47F, 47G), а ряд остатков гуанозина имеет очень низкий уровень модификации (положения 10 ( $m^2G$ ), 13, 15, 23, 24, 29, 30, 47H, 51, 52, 53, 57).

При использовании диметилсульфата для изучения реакционной способности остатков цитидина информацию можно получить лишь о тех из них, которые входят в петлевые участки тРНК. Это связано с тем, что алкилирование проходит по N3-атому цитозина, который вовлечен в образование уотсон-криковских водородных связей. Мы показали (рис. 3), что в тРНК  $Leu^{tRNA}$  в нативных условиях низкий уровень модификации обнаружен для  $m^5C$  в положении 48 и цитидина в положении 56 (помимо тех, которые входят в двусpirальные участки). Низкий уровень алкилирования этих двух оснований можно объяснить вовлечением их N3-атомов в образование

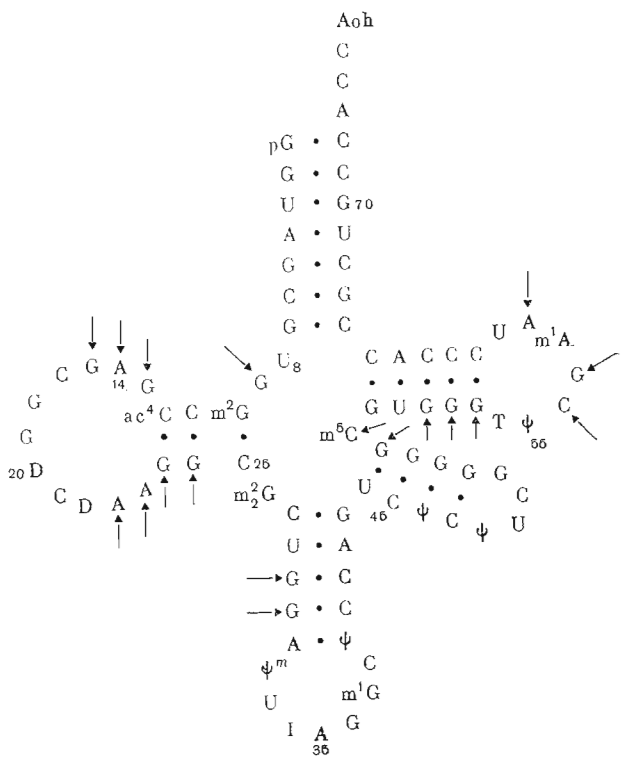


Рис. 5. Структура тРНК<sup>Leu</sup><sub>IAG</sub> в виде клеверного листа. Стрелками обозначены основания, имеющие низкий уровень модификации специфическими химическими реагентами

вторичных взаимодействий, формирующих пространственную структуру тРНК.

При изучении модификации остатков аденоцина учитывался тот факт, что стекинг-взаимодействие не позволяет проводить полную модификацию диэтилпирокарбонатом N7-положения основания, т. е. информация об остатках аденоцина, входящих в спиральные участки, теряется. Результаты по модификации тРНК<sup>Leu</sup><sub>IAG</sub> диэтилпирокарбонатом (рис. 4) свидетельствуют, что низкий уровень модификации в нативных условиях наблюдается для остатков аденоцина в положениях 14, 22, 31, 42, 59 и 64.

Обобщенные результаты по модификации нуклеотидных остатков в тРНК<sup>Leu</sup><sub>IAG</sub> сведены в таблице и показаны на рис. 5.

При сравнении полученных нами данных с литературными можно увидеть, что большинство нуклеотидных остатков тРНК<sup>Leu</sup><sub>IAG</sub>, имеющих низкую реакционную способность в нативных условиях, аналогичны таковым для тРНК<sup>Phe</sup> из дрожжей [6]. Эти остатки, очевидно, вовлечены в формирование пространственной структуры тРНК путем участия во вторичных водородных взаимодействиях типа основание — основание (A<sup>14</sup>—U<sup>8</sup>, G<sup>15</sup>—m<sup>5</sup>C<sup>48</sup>, C<sup>56</sup>—G<sup>19</sup>) или основание — рибоза (N7 G<sup>57</sup> — 2 OH ψ<sup>55</sup>). Некоторые из низкореакционных нуклеотидов, возможно, вовлечены во взаимодействие с ионами магния (A<sup>21</sup>, G<sup>51</sup>, G<sup>52</sup>, G<sup>53</sup>, A<sup>59</sup>) или молекулами воды (G<sup>15</sup>, G<sup>23</sup>, G<sup>24</sup>) [6, 12]. Особый интерес представляют азотистые основания вариабельного стебля. Высокий уровень модификации G<sup>47D</sup>, G<sup>47E</sup>, G<sup>47G</sup> и G<sup>47F</sup> свидетельствует об их экспонированности в растворе. В формировании определенной конформации вариабельного стебля тРНК<sup>Leu</sup><sub>IAG</sub>, по всей видимости, участвуют фосфаты в положениях 45, 48, 49, 50 [11], а также остаток гуанозина в положении 47Н.

Таким образом, на основании полученных экспериментальных данных

можно сделать вывод, что в тРНК<sup>Leu</sup>, имеющей длинную вариабельную петлю, осуществляется ряд вторичных взаимодействий, таких же, как и в тРНК<sup>Phe</sup>, имеющей короткую вариабельную петлю. В совокупности с данными по модификации тРНК<sup>Leu</sup><sub>IAG</sub> этилнитрозомочевиной вышеупомянутые результаты указывают на то, что укладка рибозофосфатного остова тРНК<sup>Leu</sup> в большей части близка к таковой для тРНК<sup>Phe</sup> из дрожжей. Отличия, как и предполагал Сундаралингам [13] при создании расчетной модели пространственной структуры тРНК<sup>Ser</sup><sub>1</sub> *E. coli*, заключаются в отсутствии некоторых вторичных взаимодействий (например, между G9 и A22). С другой стороны, для поддержания определенной конформации вариабельной ветви, по всей вероятности, существуют дополнительные взаимодействия. В модели Сундаралингама фосфаты 47K, 47I и 47M в углу вариабельного стебля тРНК<sup>Ser</sup><sub>1</sub> сближены пространственно с фосфатом-22 в D-петле и фосфатом-57 в T-петле соответственно. По нашим данным, эти фосфаты в тРНК<sup>Leu</sup><sub>IAG</sub> тоже имеют низкую реакционную способность. Вполне возможно, что указанные фосфаты молекулы тРНК<sup>Leu</sup><sub>IAG</sub> соединяются между собой ионом магния и вместе с G<sup>7H</sup> формируют определенное положение вариабельного стебля. Более точное расположение вариабельной ветви мы планируем определить с помощью метода так называемых «молекулярных лигнейк» на основе хлорамбуцила.

### Экспериментальная часть

Препарат индивидуальной тРНК<sup>Leu</sup> получали из суммарного препарата тРНК лактирующей молочной железы коров методами, описанными нами ранее [14].

Использовали диметилсульфат (BDH, Великобритания), диэтиллипракарбонат (Calbiochem, США), гидразин, боргидрид натрия, акриламид, N,N-метиленбисакриламид (Serva, ФРГ), [ $\gamma$ -<sup>32</sup>P]ATP и [ $\gamma$ -<sup>32</sup>P]ATP (Amersham, Англия) с уд. акт. 3000–5000 Ки/ммоль; щелочную фосфатазу *E. coli* (КФ 3.1.3.1; Worthington, США), Т<sub>1</sub>-РНКазу (КФ 3.1.27.3; Sankyo, Япония), полинуклеотидкиназу (КФ 2.7.1.78), выделенную из *E. coli*, индуцированной фагом T4 – препарат фирмы Boehringer (ФРГ); тРНК пуклеотидизтрансферазу (КФ 2.7.2.1), любезно предоставленную А. С. Буториным (ИБХ СО АН СССР).

Мечение тРНК<sup>Leu</sup> по 3'- и 5'-концу проводили как описано в работах [15] и [16] соответственно.

Частичный гидролиз тРНК Т<sub>1</sub>-РНКазой проводили как в работе [17].

Алкилирование остатков гуанозина диметилсульфатом проводили в трех экспериментальных условиях: нативных, полуденатурирующих и денатурирующих. Для сохранения нативной конформации тРНК алкилировали в 100 мкл 0,05 М какодилате натрия, pH 7,0, содержащего 0,1 М NaCl и 0,01 М MgCl<sub>2</sub>. Для алкилирования 0,1 мкг тРНК<sup>Leu</sup>, меченный по одному из концов, 15 мин инкубировали при 37°C без добавления реагента, а затем после добавления 0,25 мкл диметилсульфата инкубировали еще 12 мин. Для создания полуденатурирующих условий инкубацию проводили в 0,05 М какодилате натрия, pH 7,0, содержащем 1 mM EDTA, и том же температурном режиме. В денатурирующих условиях тРНК инкубировали 1 мин при 90°C в 300 мкл 0,05 М какодилата натрия, pH 7,0, содержащего 1 mM EDTA и 0,5 мкл диметилсульфата. Реакцию останавливали добавлением 25 мкл (в первом и втором случаях) и 70 мкл (в третьем случае) 1,0 M три-ацетатного буфера, pH 7,5, содержащего 1,0 M 2-меркаптоэтанол, 1,5 M ацетат натрия, и 2,5 объема дважды перегнанного этанола. Для лучшего осаждения тРНК в реакционные смеси вносили по 20 мкг 5S РНК. После центрифугирования осадок РНК растворяли в 10 мкл 1 M три-НCl-буфера, pH 8,2, добавляли 10 мкл 1,4 M боргидрата натрия (NaBH<sub>4</sub> растворяли в 0,1 M NaOH) и инкубировали 30 мин в темноте при 0°C. Реакцию останавливали осаждением этанолом.

Разрыв полинуклеотидной цепи по модифицированным основаниям проводили в 1,0 M анилине, pH 4,5, как описано в работе [6]. Полученные образцы гидролизованной тРНК анализировали высоковольтным электрофорезом в ПААГ в 0,05 M три-Боратном буфере, pH 8,3, содержащем 1 mM EDTA и 8,5 M мочевину.

Алкилирование остатков цитидина проводили диметилсульфатом так же, как и в случае алкилирования остатков гуанозина. Затем алкилированную тРНК растворяли в 10 мкл 50% водного раствора гидразина и инкубировали 5 мин при 0°C. Затем тРНК дважды переосаждали этанолом из 200 мкл 0,3 M ацетата натрия, pH 4,5, содержащего 1·10<sup>-4</sup> M EDTA. Разрыв полинуклеотидной цепи по модифицированным остаткам G и C (и U – см. ниже) индуцировали анилином.

При модификации тРНК гидразином идет также модификация остатков уридинина. Для того чтобы вычленить электрофоретические полосы, соответствующие олигонуклеотидам, которые оканчиваются уридином, тРНК (0,1 мкг) растворяли в 10 мкл 50% водного раствора гидразина, инкубировали при 0°C 10 мин, а затем дважды переосаждали спиртом. Разрыв полинуклеотидной цепи индуцировали анилином.

В денатурирующих условиях модификацию аденоцина проводили в 200 мкг 0,05 М какодилата натрия, pH 7,0, содержащего 1 мМ EDTA, при 90°C в течении 1 мин. Диэтилпирокарбонат добавляли в объеме 5 мкл. Для модификации в полу-денатурирующих условиях тРНК инкубировали в этом же буфере, но при более низких температурах. Реакцию останавливали осаждением спиртом с добавлением 20 мкг 5S РНК в качестве носителя. Разрыв полинуклеотидной цепи анилином и дальнейший анализ полученных фрагментов проводили как описано для остатков гуанозина.

## ЛИТЕРАТУРА

1. Suddath F. L., Quigley G. J., McPherson A., Sneden D., Rich A. // Nature. 1974. V. 248. № 5443. P. 20–24.
2. Robertus J. D., Ladner J. E., Finch J. T., Rhodes D., Brown R. S., Clark B. F. C., Klug A. // Nature. 1974. V. 250. № 5467. P. 546–551.
3. Scheitz R. W., Podjarny A. G., Krishnamachari N., Hughes J. J., Sigler P. // Nature. 1979. V. 278. № 5700. P. 188–190.
4. Woo N. H., Roe B. A., Rich A. // Nature. 1980. V. 286. № 5700. P. 346–351.
5. Moras D., Comarmond M. B., Fisher J., Weiss R., Thierry J.-C., Ebel J.-P., Giege R. // Nature. 1980. V. 288. № 5783. P. 669–674.
6. Peattie D. A., Gilbert W. // Proc. Nat. Acad. Sci. USA. 1980. V. 77. № 8. P. 4679–4682.
7. Rietveld K., Pleij C. W. A., Bosch L. // EMBO J. 1983. V. 2. № 7. P. 1079–1085.
8. Swerdlow H., Cuthrie Ch. // J. Biol. Chem. 1984. V. 259. № 8. P. 5197–5207.
9. Kjems J., Olesen S., Garrett K. A. // Biochemistry. 1985. V. 24. № 2. P. 241–250.
10. Giege R., Romby P., Florents C., Ebel J.-P., Dumas P., Westhof E., Moras D. // Nucleic acids: The vectors of life/Eds Pullman B., Jortner J. Tel Aviv: Reidel Publ. Company, 1983. P. 415–426.
11. Петрушенко З. М., Тукало М. А., Матсука Г. Х. // Биоорган. химия. 1986. Т. 12. № 11. С. 1492–1497.
12. Teeter M., Quigley G., Rich A. // Metal ions in genetics information transfer. Amsterdam: Elsevier, 1981. P. 233–272.
13. Brennan T., Sundaralingam M. // Nucl. Acids Res. 1976. V. 3. № 11. P. 3235–3251.
14. Тукало М. А., Васильева И. Г., Турковская Г. В., Ельская А. В. // Биохимия. 1983. Т. 48. № 12. С. 1984–1987.
15. Silberklang H., Gillam A. H., Rajzhanary U. L. // Nucl. Acids Res. 1977. V. 4. № 12. P. 4091–4108.
16. Vlassov V., Giege R., Ebel J.-P. // Eur. J. Biochem. 1981. V. 119. № 1. P. 51–59.
17. Donis-Keller H., Maxam A. M., Gilbert W. // Nucl. Acids Res. 1977. V. 4. № 8. P. 2527–2538.

Поступила в редакцию

3.III.1987

После доработки

2.VII.1987

## A STUDY OF THREE-DIMENSIONAL STRUCTURE OF tRNA<sup>Leu</sup><sub>TAG</sub> FROM COW MAMMARY GLAND BY THE CHEMICAL MODIFICATION METHODS

PTRUSHENKO Z. M., TUKALO M. A., MATSUKA G. Kh.

Institute of Molecular Biology and Genetics, Academy of Sciences  
of the Ukrainian SSR, Kiev

The nucleosides of tRNA<sup>Leu</sup><sub>TAG</sub> (with a long variable loop) from the cow mammary gland included in formation of the three-dimensional structure have been analysed by the chemical modification methods. Exposed guanosine and cytidine residues were detected by means of dimethylsulfate, whereas diethylpyrocarbonate was used to detect exposed adenosine residues.

The low level of the modification was characteristic of guanosine residues in positions 10, (m<sup>2</sup>G), 13, 15, 23, 24, 29, 30, 47 H, 51, 52, 53, 57; of cytidine residues in positions 48 (m<sup>5</sup>C), 56 and those involved in Watson – Crick pairing; of adenosine residues in positions 14, 22, 31, 42, 59, 64. Most bases of tRNA<sup>Leu</sup><sub>TAG</sub> thus detected are similarly located in the yeast tRNA<sup>Phe</sup> molecule, which suggests a common role of these bases in the formation of the spacial structure of both tRNAs.